

# طراحی و شبیه‌سازی نانوحسگر زیستی بدون برچسب برای تشخیص مولکول با استفاده از ترانزیستور اثر میدانی نانولوله بدون پیوند

زهرا آهنگری

زیستی بسیار مورد توجه قرار گرفته [۸] تا [۱۱] که در این افزاره، گیت وظیفه کنترل جرین درین را بر عهده دارد. این ترانزیستورها حساسیت بسیار بالایی برای تشخیص pH دارند و عملکرد این حسگرها در تشخیص میزان گلوكز و نیز DNA مورد بررسی قرار گرفته است [۱۲] و [۱۳]. همچنین از حسگرهایی که در سال‌های اخیر بر مبنای ترانزیستور اثر میدانی مورد مطالعه قرار گرفته‌اند، می‌توان به حسگرهایی مبتنی بر مدولاسیون دی‌الکتریک اشاره نمود. در این حسگرها، یک نانوحفره در عایق گیت ایجاد می‌گردد که مولکول‌ها در آن انباسته می‌شوند. از آنجا که ثابت دی‌الکتریک مولکول‌ها با یکی‌گر متفاوت است، با انباستگی مولکول در نانوحفره، خازن گیت تغییر کرده که این امر موجب تغییر جریان ترانزیستور و ولتاژ آستانه می‌گردد. این تغییرات می‌توانند به عنوان مبنای برای شناسایی مولکول موردنظر به کار روند. از مزایای این ساختار می‌توان به قابلیت شناسایی مولکول‌ها بدون برچسب اشاره نمود. به کارگیری تکنیک مدولاسیون دی‌الکتریک در ترانزیستورهای شاتکی [۱۴]، تونلی [۱۵]، اثر میدان متداول [۱۶] و یونیزاسیون برخورده [۱۷] صورت گرفته است، لیکن از مشکلات این حسگرها می‌توان به کاهش حساسیت افزاره خصوصاً در مولکول‌هایی با ثابت دی‌الکتریک پایین اشاره نمود. همچنین ولتاژ کاری برای راهنمایی این حسگرها بسیار بالا است.

در این مقاله، عملکرد ترانزیستور نانولوله بدون پیوند کانال P به عنوان حسگر زیستی مورد بررسی قرار گرفته است. از ویژگی‌های ساختار ارائه‌شده می‌توان به وجود دو گیت داخلی و خارجی اشاره نمود که ضمن افزایش کنترل گیت بر کانال و کاهش توان مصرفی، امکان کوچک‌سازی افزاره را در ابعاد نانو فراهم می‌کند. همچنین این افزاره دارای حساسیت بسیار بالایی برای مولکول‌هایی با ثابت دی‌الکتریک پایین می‌باشد و به ولتاژ کاری بسیار پایینی نیاز دارد. به دلیل آلایش یکسان در سورس، کانال و درین در این افزاره، فرایند ساخت در دمای پایین‌تری صورت می‌گیرد و به تعداد ناقبهای کمتری حین ساخت نیاز است. در این افزاره، به کمک فرایند زدایش، یک نانوحفره در عایق گیت ایجاد می‌گردد که مولکول‌ها در آن قرار می‌گیرند. از آنجا که ثابت دی‌الکتریک مولکول‌ها بیشتر از ثابت دی‌الکتریک هوا می‌باشد، خازن نانوحفره و به تبع آن خازن گیت تغییر کرده که این امر موجب تغییر جریان درین و تغییر ولتاژ آستانه می‌گردد. در این تحقیق، دو معیار برای سنجش حساسیت حسگر مورد بررسی قرار گرفته است. معیار اول تغییرات جریان حالت خاموش و معیار دوم تغییرات ولتاژ آستانه هنگام جذب مولکول است که به طور کامل در بخش سوم مورد بررسی قرار خواهد گرفت. اما نکته بسیار حائز اهمیت آن است که مشخصه‌های الکتریکی افزاره تحت تأثیر جذب مولکول خصوصاً مولکول‌هایی با ثابت دی‌الکتریک پایین تغییر کند و سایر متغیرهای ساختاری نقش محسوسی در این تغییرات نداشته باشند. به

چکیده: حسگرهای زیستی دارای کاربردهای متنوع خصوصاً در بخش تشخیص پزشکی هستند. در این مقاله از ترانزیستور نانولوله بدون پیوند به عنوان حسگر زیستی بدون برچسب برای تشخیص مولکول استفاده گردیده است. اساس عملکرد این حسگر بر مبنای مدولاسیون دی‌الکتریک عایق گیت است. در این ترانزیستور، گیت وظیفه کنترل جریان درین را بر عهده دارد و در صورت تغییر خازن گیت، جریان درین تغییر می‌کند. یک نانوحفره در عایق گیت ایجاد گردیده که محل قرارگیری مولکول است. از آنجا که مولکول‌های زیستی مختلف دارای ثابت دی‌الکتریک متفاوتی هستند، انباستگی مولکول‌های مختلف در نانوحفره موجب تغییر ثابت دی‌الکتریک نانوحفره گردیده و این امر در نهایت موجب تغییر خازن گیت و تغییر جریان افزاره می‌گردد. تغییرات ولتاژ آستانه و تغییرات جریان درین به عنوان دو معیار برای شناسایی مولکول و تعیین حساسیت حسگر معرفی شده‌اند. این حسگر به دلیل دارابودن دو گیت داخلی و خارجی دارای توان مصرفی پایینی است و دارای فرایند ساخت ساده در دمای پایین می‌باشد. از مزایای ساختار مطرح شده در این حسگر می‌توان به حساسیت بالا و تفکیک‌پذیری بالا خصوصاً در مولکول‌هایی با ثابت دی‌الکتریک پایین اشاره نمود. اثر تغییرهای مهم ساختاری و فیزیکی بر عملکرد این حسگر به طور کامل مورد بررسی قرار گرفته است. تابع کار فلز گیت و آلایش کانال دو معیار بسیار مهم در حساسیت حسگر هستند که لازم است مقادیر بهینه‌ای برای آنها تعیین گردد. به دلیل توان مصرفی پایین و حساسیت بالا، این حسگر می‌تواند گزینه مناسبی برای کاربرد در ابعاد نانو باشد.

**کلیدواژه:** تابع کار گیت، ترانزیستور اثر میدان بدون پیوند، ثابت دی‌الکتریک مولکول، حسگر زیستی، ساختار نانولوله، ولتاژ آستانه.

## ۱- مقدمه

حسگرهای زیستی یکی از مهم‌ترین و پرکاربردترین ادوات برای تشخیص مولکول‌ها به شمار می‌روند و دارای کاربردهای زیادی در حوزه پزشکی، صنایع غذایی، صنایع شیمیایی و علوم آزمایشگاهی هستند [۱] تا [۵]. در حال حاضر نیز طراحی و تولید حسگرهای تشخیص سریع با دقت بسیار بالا برای کنترل بیماری کووید ۱۹ بسیار حائز اهمیت است [۶] و [۷]. در سال‌های اخیر، نانوفناوری نقش مهم و تأثیرگذاری در بهبود حساسیت و پاسخ‌دهی حسگرها ایفا کرده و در حال حاضر، به کارگیری افزاره‌های نانوالکترونیک، کمک شایانی به بهبود حساسیت حسگرهای زیستی نموده است. ترانزیستور اثر میدانی حساس به یون به عنوان حسگر این مقاله در تاریخ ۸ اسفند ماه ۱۳۹۹ دریافت و در تاریخ ۱۸ آذر ماه ۱۴۰۰ بازنگری شد.

زهرا آهنگری، گروه الکترونیک، واحد یادگار امام خمینی (ره) شهر ری، دانشگاه آزاد اسلامی، تهران، ایران، (email: z.ahangari@iausr.ac.ir).

جدول ۱: متغیرهای ساختاری و فیزیکی مربوط به ساختار ترانزیستور بدون پیوند متداول و ترانزیستور نانولوله بدون پیوند به عنوان حسگر زیستی.

ساختار ترانزیستور نانولوله بدون پیوند به عنوان حسگر زیستی	ساختار ترانزیستور بدون پیوند متداول	متغیر
۴.۵	۴.۵	تابع کار گیت ( $eV$ )
۱۰	-	ضخامت ناحیه هوایی (nm)
۱	۱	(nm) $HfO_2$
۲۰	۲۰	طول کanal
۵	۵	شعاع کanal ( $R$ ) (nm)
$10^{-19}$	$10^{-19}$	آلایش کanal ( $\text{cm}^{-3}$ )
$10^{-19}$	$10^{-19}$	آلایش سورس/درین ( $\text{cm}^{-3}$ )
-۰.۰۵	-۰.۰۵	ولتاژ درین ( $V_{DS}$ ) (V)

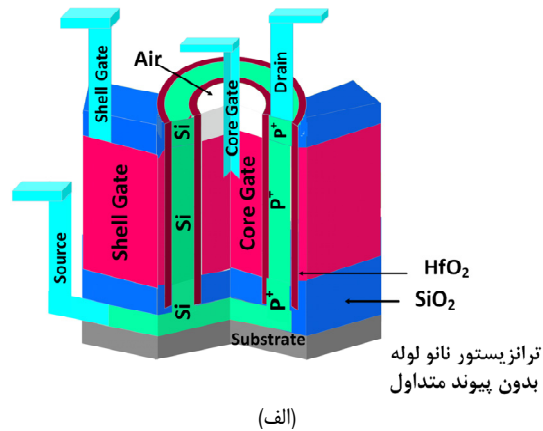
هوا پر شده است، نانوحفره دارای ثابت دی‌الکتریک  $k = 1$  می‌باشد. با قرارگیری مولکول در نانوحفره و با توجه به این که هر مولکول دارای ثابت دی‌الکتریک متفاوتی است، ضریب گذرهای نانوحفره تغییر می‌کند که در نهایت منجر به تغییر کنترل گیت بر روی کanal می‌گردد. متغیرهای ساختاری و فیزیکی اولیه ترانزیستور نانولوله بدون پیوند متداول و ترانزیستور نانولوله بدون پیوند به عنوان حسگر زیستی در جدول ۱ ارائه گردیده است. شبیه‌سازی سه‌بعدی به کمک نرمافزار عددی Silvaco [۱۸] صورت گرفته و مدل‌های زیر برای بررسی مشخصه‌های الکتریکی افزاره لحاظ گردیده است: ۱) مدل مربوط به حرکت حامل‌ها از سورس به درین که بر مبنای رانش و نفوذ است، ۲) مدل‌های مربوط به اثر تراکم ناخالصی و میدان الکتریکی ناشی از گیت و درین بر قابلیت حرکت حامل‌ها، ۳) مدل‌های مربوط به بازترکیب الکترون و حفره، ۴) مدل مربوط به کاهش شکاف انرژی در نیمه‌هادی با آلایش بالا و ۵) مدل‌های کوانتومی هنگامی که قطر نانولوله به کمتر از ۵ nm کاهش می‌یابد.

### ۳- یافته‌ها و بحث

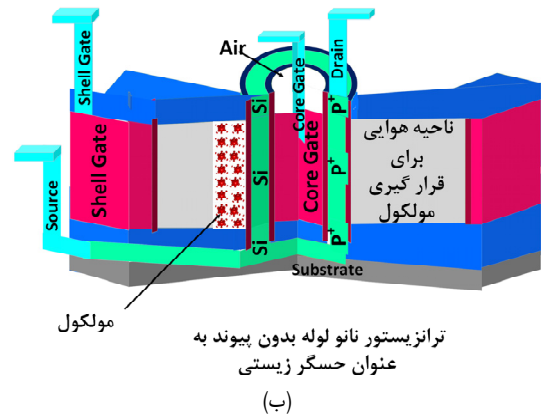
در این بخش، ابتدا عملکرد ترانزیستور نانولوله بدون پیوند متداول توضیح داده شده است. سپس در ادامه، عملکرد ترانزیستور بدون پیوند به عنوان حسگر زیستی مورد بررسی قرار خواهد گرفت و اثر متغیرهای مهم ساختاری و فیزیکی بر حساسیت حسگر زیستی تبیین خواهد شد.

### ۱-۳ بررسی مشخصه‌های الکتریکی ترانزیستور نانولوله بدون پیوند متداول

ترانزیستور نانولوله بدون پیوند کanal P متداول دارای آلایش یکسانی در سورس، درین و کanal می‌باشد [۱۹] تا [۲۱]. در این افزاره گیت وظیفه کنترل جریان درین را بر عهده دارد. در حالت خاموش (ولتاژ گیت برابر صفر ولت و ولتاژ درین برابر -۰.۰۵ ولت)، به دلیل اختلاف تابع کار گیت (داخلی و خارجی) و تابع کار نیمه‌هادی کanal، تراکم حفره‌ها در کanal کاهش می‌یابد. این امر موجب افزایش عرض ناحیه تخلیه شده و در این حالت، مسیر حرکت حامل‌ها از سورس به درین مسدود می‌شود. با افزایش ولتاژ گیت درجهٔ منفی، تراکم حفره‌ها در کanal افزایش یافته و منجر به کاهش عرض ناحیه تخلیه شده در کanal می‌گردد. در این حالت جریان درین از سورس به درین برقرار می‌شود. در این ساختار به دلیل استفاده از دو گیت داخلی و خارجی، گیت کنترل بسیار بالایی بر تراکم حامل‌ها در کanal دارد که این امر در نهایت منجر به کاهش توان مصرفی ایستای



ترانزیستور نانو لوله بدون پیوند متداول



ترانزیستور نانو لوله بدون پیوند به عنوان حسگر زیستی

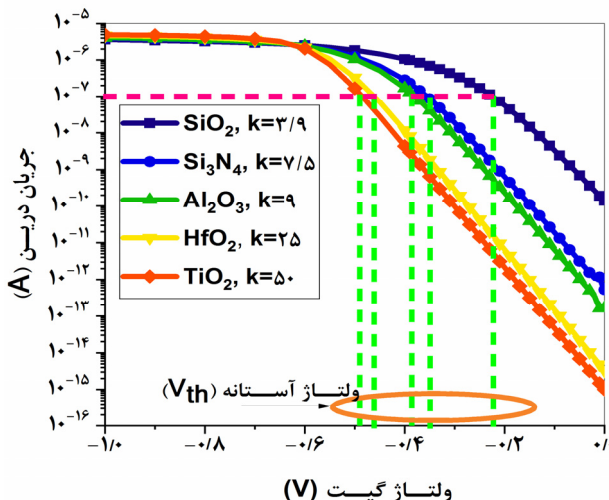
شکل ۱: (الف) ساختار ترانزیستور بدون پیوند متداول و (ب) ساختار ترانزیستور نانولوله بدون پیوند به عنوان حسگر زیستی.

دلیل اهمیت این موضوع، اثر متغیرهای مهم ساختاری و فیزیکی بر حساسیت حسگر به طور کامل مورد بررسی قرار خواهد گرفت و مقدار بهینه‌ای برای آنها تعیین خواهد گردید تا بیشترین حساسیت برای حسگر به دست آید. همچنین یکی دیگر از اهداف مهم در طراحی حسگر، کاهش توان مصرفی قبل از جذب مولکول است.

در ادامه و در بخش دوم، ساختار ترانزیستور نانولوله بدون پیوند متداول و نحوه تبدیل آن به یک نانوحسگر بررسی شده است. سپس در بخش سوم، اثر متغیرهای مهم ساختاری و فیزیکی بر عملکرد نانوحسگر مورد بررسی قرار خواهد گرفت و نهایتاً نتایج مربوط به مقاله در بخش چهارم ارائه می‌گردد.

### ۲- ساختار افزاره و مدل‌های به کار گرفته شده در شبیه‌سازی

شکل ۱-الف ساختار سه‌بعدی ترانزیستور نانولوله بدون پیوند را نشان می‌دهد. ساختار ارائه شده دارای دو گیت داخلی و خارجی است که این امر موجب افزایش کنترل گیت بر کanal می‌گردد. همان‌گونه که نشان داده شده است، دو گیت به یکدیگر متصل شده‌اند و دارای ولتاژ یکسانی هستند. آلایش سورس، درین و کanal یکسان و از نوع  $P^+$  می‌باشد. شکل ۱-ب ساختار ترانزیستور نانولوله بدون پیوند به عنوان حسگر زیستی را نشان می‌دهد. این ساختار مشابه ترانزیستور نانولوله بدون پیوند متداول می‌باشد با این تفاوت که در این نانوحسگر، ضخامت عایق گیت تا ۱۰ nm افزایش یافته است. برای قرارگیری مولکول به حداقل ۱۰ nm فضا نیاز داریم و با استفاده از روش زدایش شیمیایی، یک نانوحفره با ضخامت ۱۰ nm در عایق گیت ایجاد می‌گردد. این نانوحفره محل قرارگیری مولکول است. هنگامی که نانوحفره خالی است و به عبارتی از



شکل ۳: مشخصه انتقالی ترانزیستور نانولوله بدون پیوند متناول به ازای تغییر ماده عایق گیت.

جدول ۲: ثابت دیالکتریک مولکول های زیستی مورد بررسی در این مقاله.

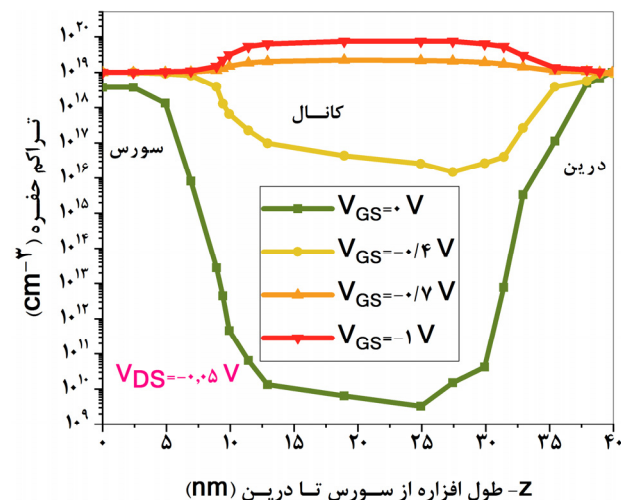
نام مولکول	ثابت دیالکتریک مولکول
streptavidin	۲/۱
۳-aminopropyltriethoxysilane (APTES)	۳/۵۷
protein	۸

گیت نشان می دهد. با افزایش ثابت دیالکتریک ماده عایق گیت، به دلیل افزایش کترل گیت بر کanal، جریان حالت خاموش کاهش یافته و نسبت جریان روشن به خاموش بهمود می یابد. همچنین به دلیل افزایش نقش گیت در کنترل تراکم بار کanal، از اثر میدان الکتریکی درین بر بارهای کanal کاسته شده که این امر موجب افزایش ولتاژ آستانه ( $V_{th}$ ) می گردد. ولتاژ آستانه افزاره، میزان ولتاژ گیتی می باشد که در آن جریان درین به  $10^{-7}$  آمپر می رسد.

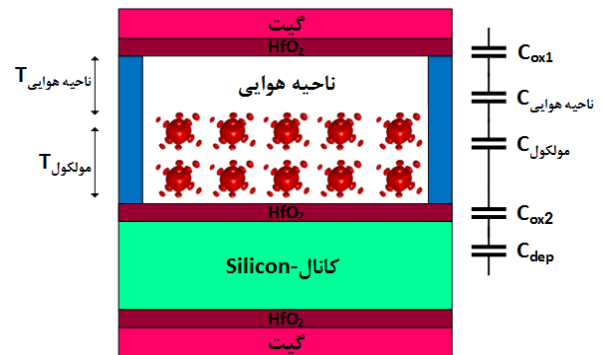
### ۲-۳ طراحی حسگر زیستی به کمک ترانزیستور نانولوله بدون پیوند

برای تبدیل ترانزیستور نانولوله بدون پیوند به یک حسگر زیستی، ناحیه عایق گیت به کمک فرایند زدایش تخلیه شده تا یک نانوحفره در ناحیه عایق گیت ایجاد گردد. این نانوحفره، محل قرارگیری مولکول های زیستی است و شعاع آن می بایست حداقل  $10\text{ nm}$  باشد. از ویژگی های مولکول های مختلف می توان به تفاوت آنها در ثابت دیالکتریک اشاره نمود. جدول ۲ ثابت دیالکتریک مولکول های مختلف را که در این مقاله مورد بررسی قرار گرفته اند نشان می دهد [۲۲].

هنگامی که نانوحفره خالی است، هوا در آن انباشته شده که ثابت دیالکتریک آن  $k = 1$  است. با انباشته شدن مولکول در نانوحفره و تغییر ثابت دیالکتریک نانوحفره ( $k > 1$ )، خازن گیت تغییر کرده و این امر موجب تغییر جریان حالت خاموش و نیز تغییر ولتاژ آستانه می گردد. این دو معیار می توانند برای تشخیص مولکول های مختلف به کار بروند. شکل ۴ خازن های تشکیل دهنده خازن گیت در نانوحسگر.



شکل ۲: تراکم حفره در راستای طول افزاره از سورس تا درین به ازای تغییر ولتاژ گیت.



شکل ۴: خازن های تشکیل دهنده خازن گیت در نانوحسگر.

افزاره می گردد. شکل ۲، تراکم حفره ها را در میانه کanal از سورس تا درین به ازای تغییر ولتاژ گیت و نیز به ازای ولتاژ درین برابر  $-0.5\text{ V}$  و لتناظر نشان می دهد. ولتاژ درین به منظور تعیین نقش اصلی گیت در کنترل بار کanal، پایین در نظر گرفته شده است. بر اساس نتایج به دست آمده، با افزایش ولتاژ گیت در جهت منفی، تراکم حامل ها در کanal افزایش می یابد. دلیل تغییر تراکم حفره در کanal آن است که الکترودهای گیت داخلی و خارجی هر دو روی ناحیه کanal قرار دارند و روی نواحی سورس و درین توسعه پیدا نکرده اند. از این جهت با تغییر ولتاژ گیت، تنها تراکم باز داخل کanal تغییر می کند.

خازن گیت ( $C_G$ ) نقش بسیار مهمی در مشخصه های الکتریکی افزاره دارد و از دو خازن سری خازن اکسید گیت ( $C_{ox}$ ) و خازن ناحیه تخلیه شده کanal ( $C_{dep}$ ) تشکیل گردیده است

$$\frac{1}{C_G} = \frac{1}{C_{ox}} + \frac{1}{C_{dep}} \quad (1)$$

$$\frac{1}{C_G} = \frac{T_{ox}}{k_{ox} \epsilon} + \frac{1}{C_{dep}} \quad (2)$$

که در آن  $T_{ox}$  ضخامت عایق گیت،  $k_{ox}$  ثابت دیالکتریک ماده عایق گیت و  $\epsilon$  ضریب گذردهی خالی می باشد. خازن ناحیه تخلیه شده بزرگ تر از خازن عایق گیت است لذا در ترکیب سری، خازن ناحیه تخلیه شده بزرگ تر غالب می باشد. با افزایش ثابت دیالکتریک عایق گیت، ظرفیت خازن اکسید گیت افزایش یافته و این امر موجب افزایش خازن گیت و در نتیجه تراکم گیت ایجاد می گردد. شکل ۳ مشخصه انتقالی ترانزیستور نانولوله بدون پیوند کanal P را به ازای مواد مختلف در عایق

$$\frac{1}{C_G} = \frac{1}{C_{ox}} + \frac{1}{C_{nanogap}} + \frac{1}{C_{oxr}} + \frac{1}{C_{dep}} \quad (3)$$

$$\frac{1}{C_{nanogap}} = \frac{1}{C_{air}} + \frac{1}{C_{molecule}} \quad (4)$$

$$\frac{1}{C_{nanogap}} = \frac{T_{air}}{k_{air} \epsilon_r} + \frac{T_{molecule}}{k_{molecule} \epsilon_r} \quad (5)$$

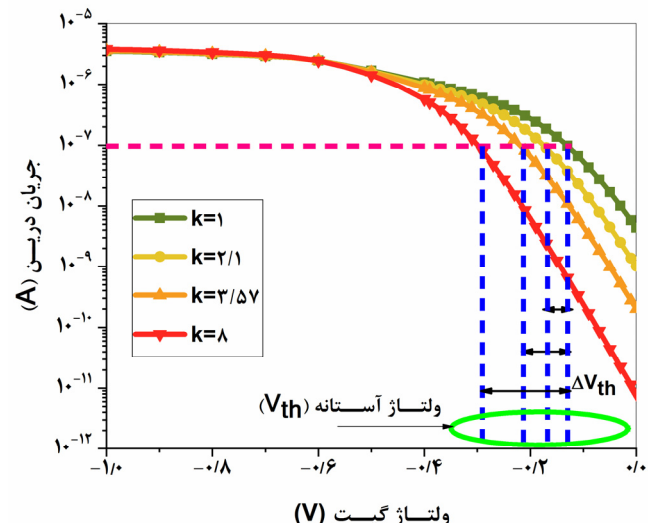
که در آن  $C_{ox}$  و  $C_{oxr}$  به ترتیب برابر خازن عایق گیت است که در فرایند زدایش باقی مانده و  $C_{nanogap}$  خازن نانوحفره می‌باشد که شامل دو قسمت خازن ناحیه هوایی ( $C_{air}$ ) و خازن مولکول ( $C_{molecule}$ ) است. همچنین  $T_{molecule}$  ضخامت بخشی از ناحیه عایق گیت است که مولکول‌ها در آن انباسته شده‌اند،  $T_{air}$  ضخامت بخشی از نانوحفره است که با هوا پر گردیده و ثابت دی‌الکتریک ناحیه هوایی  $k_{air}$  نیز برابر یک ( $k = 1$ ) است. بر اساس (۵)، با تغییر ثابت دی‌الکتریک مولکول، ظرفیت خازن نانوحفره تغییر کرده که این امر در نهایت منجر به تغییر خازن گیت می‌گردد. شکل ۵ مشخصه انتقالی ترانزیستور نانولوله بدون پیوند را به ازای حالتی که نانوحفره خالی است و نیز به ازای حالتی که نانوحفره با مولکول‌هایی با ثابت دی‌الکتریک مختلف پر شده‌اند، نشان می‌دهد. برای بررسی اثر ثابت دی‌الکتریک مولکول بر ولتاژ آستانه، ولتاژ درین برابر  $-0.05$  ولت در نظر گرفته شده است.

همان گونه که مشاهده می‌گردد با افزایش ثابت دی‌الکتریک مولکول، ولتاژ آستانه در جهت منفی افزایش یافته و نیز به دلیل افزایش کترول گیت بر کاناال و افزایش خازن گیت، جریان حالت خاموش کاهش می‌یابد. میزان تغییر ولتاژ آستانه ( $\Delta V_{th}$ ) و نسبت جریان حالت خاموش ( $I_{off}$ )، در حالتی که نانوحفره خالی است (before molecule accumulation) (after molecule accumulation) به جریان حالت خاموش در حالت انباسته‌گی مولکول (before molecule accumulation) می‌تواند به عنوان معیاری برای تشخیص نوع مولکول به کار روند. بر این اساس دو معیار اساسی تشخیص مولکول  $S_v$  و  $S_r$  به شرح زیر تعریف می‌گردند

$$S_v(mV) = |\Delta V_{th}| \\ = |V_{th}(\text{before molecule accumulation}) - V_{th}(\text{after molecule accumulation})| \times 1000 \quad (6)$$

$$S_r = \frac{I_{off}(\text{before molecule accumulation})}{I_{off}(\text{after molecule accumulation})} \\ = \frac{I_{off}(k=1)}{I_{off}(k>1)} \quad (7)$$

شکل ۶ نمودار ولتاژ آستانه را بر حسب ثابت دی‌الکتریک مولکول نشان می‌دهد. همان گونه که مشاهده می‌گردد با افزایش ثابت دی‌الکتریک مولکول و افزایش کترول گیت بر کاناال، ولتاژ آستانه نسبت به حالتی که نانوحفره از هوا پر شده است (در جهت منفی) افزایش می‌یابد. همچنین معیار حساسیت  $S_v$  به ازای ثابت دی‌الکتریک مختلف مولکول‌ها رسم گردیده است. همان گونه که مشاهده می‌گردد با افزایش ثابت دی‌الکتریک، میزان حساسیت  $S_v$  به ازای ثابت دی‌الکتریک مولکول حسگر بهینه لازم است میزان حساسیت حسگر افزایش می‌یابد. در طراحی حسگر بهینه ازایش پایین افزایش یابد. در شکل ۷ جریان حالت خاموش ترانزیستور و معیار حساسیت  $S_v$  بر حسب ثابت دی‌الکتریک مولکول نمایش داده شده است. همان گونه که مشاهده می‌گردد با افزایش ثابت



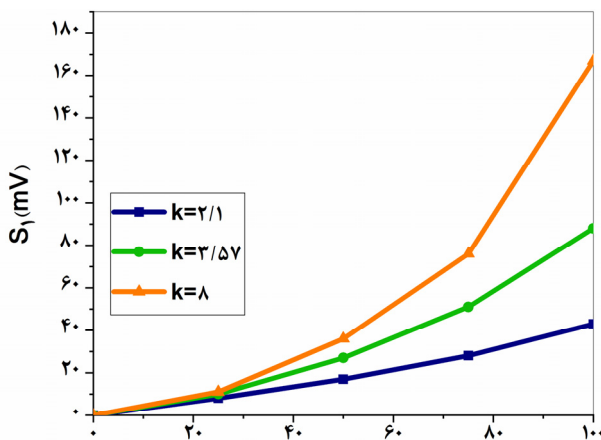
ولتاژ گیت (V)

شکل ۵: مشخصه انتقالی ترانزیستور نانولوله بدون پیوند به عنوان حسگر زیستی به ازای تابعی از مولکول‌هایی با ثابت دی‌الکتریک مختلف.

است. برای افزایش کترول گیت بر کاناال، افزایش پاسخ‌دهی حسگر و نیز سهوالت در فرایند ساخت، در این مقاله، افزاره نانولوله که دارای دو گیت داخلی و بیرونی است و هر دو گیت دارای تابع کار یکسانی هستند، مورد بررسی و شبیه‌سازی قرار گرفته است.

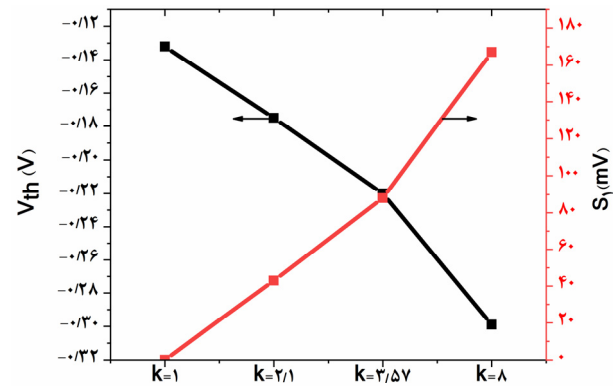
در خصوص قرارگیری مولکول‌ها در نانوحفره سه مرحله وجود دارد: (۱) بعد از تمیز کردن نانوحفره، افزاره را در محلول amino-undecanethiol hydrochloride با نسبت ۱۱ به ۱ قرار می‌دهیم. در این حالت یک لایه خودآرا بین لایه عایق گیت دیواره و گروههای آمینو تشکیل می‌شود. این پیوند نهایتاً مانند یک بازوی کمکی موجب اتصال مولکول‌های biotin به دیواره‌های نانوحفره می‌شود. (۲) در مرحله دوم، افزاره در محلول بافر carbonate sulpho-NHS-LC biotin در دمای ۴ ساعت در دمای ۸۵ درجه قرار می‌گیرد تا فرایند ثبت کردن مولکول‌های biotin به دیواره‌های نانوحفره با پایداری بالا انجام شود. (۳) سپس افزاره‌ای را که مولکول‌های biotin در نانوحفره آن ثبت شده‌اند به مدت ۴ ساعت دیگر در دمای ۸۵ درجه سانتیگراد در ۳۰-۰ nM streptavidin/PBST محلول قرار می‌دهیم. در این حالت مولکول‌های streptavidin در نانوحفره تثبیت می‌شوند و یک پیوند بین مولکولی قوی با biotin تشکیل می‌گردد. ساخت این افزاره منطبق بر رشد نانوسیم است که در ابتدا بر روی بستر یک نانوسیم از جنس فلز به عنوان الکترود داخلی رشد داده می‌شود و سپس در اطراف این نانولوله عایق گیت میانی قرار می‌گیرد. عایق گیت میانی از جنس HfO<sub>2</sub> است و بر روی نانوسیم فلزی به روش لایه نشانی قرار می‌گیرد. نکته حائز اهمیت آن است که فرایند رشد این افزاره به صورت عمودی است. سپس کاناال افزاره به شکل نانوسیم رشد داده می‌شود، به طوری که عایق گیت و نانولوله فلزی در مرکز آن قرار گیرند. در مرحله بعد، ۱۲ نانومتر عایق گیت در اطراف نانوسیم رشد داده می‌شود و برای تشکیل نانوحفره لازم است ۱۰ نانومتر از نانوحفره زدایش گردد. بعد از زدایش و تشکیل نانوحفره، گیت خارجی به روش اسپاترینگ (کند و پاش) ایجاد می‌شود و در نهایت الکترودهای افزاره متصل می‌گردند. نکته حائز اهمیت آن است که در این افزاره سورس، کاناال و درین دارای یک نوع آلایش هستند و به همین دلیل مرحله کاشت یونی برای این مراحل نداریم.

روابط مربوط به خازن گیت در این حالت نشان داده شده‌اند (نانوحفره air، مولکول: molecule و ناحیه هوایی: nanogap)



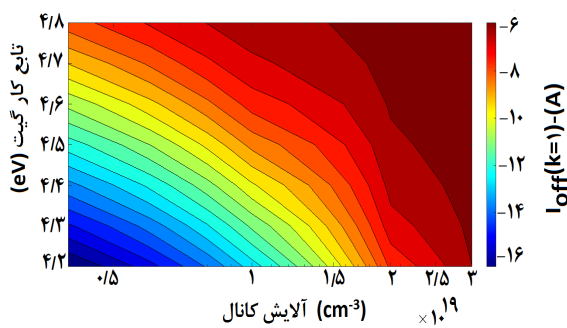
حجم نانو حفره که توسط مولکول پر شده است (%)

شکل ۶: حساسیت حسگر بر اساس معیار  $S_1$  به ازای درصدی از حجم نانو حفره که توسط مولکول پر شده است.



ثابت دی الکتریک مولکول

شکل ۷: نمودار ولتاژ آستانه و معیار حساسیت  $S_1$  به ازای تغییر ثابت دی الکتریک مولکول.

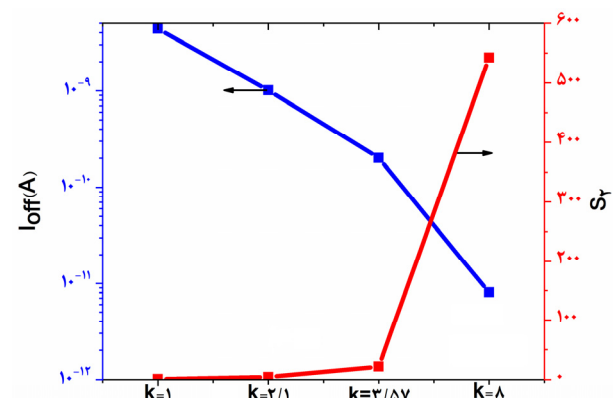


شکل ۹: کانتور دوبعدی جریان حالت خاموش قبل از جذب مولکول به ازای تغییرات آلایش کanal و تابع کار گیت.

حسگر نشان می‌دهد. در صورتی که نانو حفره کاملاً با مولکول پر نشود، طبق (۴) خازن نانو حفره به دو خازن سری، یکی قسمتی که با هوا پر شده و دیگری خازن مولکول تبدیل می‌گردد. به دلیل ثابت دی الکتریک پایین ناحیه هوایی، خازن گیت کاهش یافته که این امر موجب کاهش کنترل گیت بر کanal و کاهش حساسیت حسگر می‌گردد. همان گونه که در شکل نشان داده شده است، برای افزایش میزان حساسیت حسگر و نیز افزایش میزان تفکیک‌پذیری حسگر برای مولکول‌های مختلف لازم است تمام ظرفیت نانو حفره پر از مولکول گردد. جدول ۳ حساسیت حسگر بر مبنای معیار  $S_1$  و جریان حالت خاموش افزاره را به ازای درصد مختلف پرشدن نانو حفره نشان می‌دهد. در حالتی که مولکول‌ها در حد کمی از نانو حفره را تشکیل می‌دهند، به دلیل کاهش کنترل گیت بر کanal، تغییرات جریان حالت خاموش با تغییر نوع مولکول محسوس نیست. بر این اساس برای افزایش حساسیت حسگر خصوصاً برای مولکول‌هایی با ثابت دی الکتریک پایین لازم است مولکول‌ها در تمام ظرفیت نانو حفره انشاشته گردند.

### ۲-۲-۳ بررسی اثر آلایش کanal و تابع کار گیت بر حساسیت حسگر زیستی

یکی از اهداف مهم در طراحی یک نانو حسگر بهینه، کاهش توان مصرفی و کاهش جریان حالت خاموش در حالتی است که مولکول در آن قرار ندارد. آلایش کanal و تابع کار گیت، دو عامل تأثیرگذار بر جریان حالت خاموش افزاره هستند. شکل ۹ کانتور دوبعدی جریان حالت خاموش افزاره را به ازای تغییر آلایش کanal و تابع کار گیت (داخلی و بیرونی) نشان می‌دهد. حداقل جریان خاموش افزاره برای عملکرد بهینه حسگر در



ثابت دی الکتریک مولکول

شکل ۷: نمودار جریان حالت خاموش و معیار  $S_1$  به ازای تغییر ثابت دی الکتریک مولکول.

دی الکتریک مولکول، جریان حالت خاموش کاهش می‌یابد که این مسأله موجب افزایش حساسیت حسگر خصوصاً برای مولکول‌هایی با ثابت دی الکتریک بالا می‌گردد. اصول عملکرد این حسگر بر پایه تغییر خازن گیت استوار است و قطر نانو حفره نقش کلیدی را در پاسخ‌دهی حسگر زیستی دارد. هر گونه تغییر در طی فرایند ساخت که بر قطر نانو حفره تأثیر بگذارد می‌تواند بر پاسخ‌دهی حسگر تأثیر داشته باشد. همچنین دما یک عامل محدود کننده عملکرد این افزاره است. هدف این است که با قرارگرفتن مولکول در نانو حفره، مشخصه‌های الکتریکی افزاره تغییر کند. اما دما می‌تواند بر تراکم حامل‌ها در کanal تأثیر بگذارد و ولتاژ آستانه را قبل و حتی بعد از جذب مولکول تغییر دهد. در دمای‌های بسیار بالا، تراکم حفره‌ها در کanal افزایش یافته و ولتاژ آستانه کاهش می‌یابد. در این حالت پاسخ‌دهی حسگر برای مولکول‌هایی با ثابت دی الکتریک پایین کاهش می‌یابد. از طرفی در دمای‌های بسیار پایین نیز تراکم حفره‌ها در کanal کاهش یافته و در نتیجه کanal مسدود می‌شود. در این حالت ولتاژ آستانه، افزایش و در نتیجه پاسخ‌دهی حسگر نیز حتی برای مولکول‌هایی با ثابت دی الکتریک بالا کاهش می‌یابد. شبیه‌سازی در این مقاله در دمای اتصاق انجام شد، لذا تنظیم دما برای عملکرد بهینه حسگر ضروری است.

۳-۱ بررسی اثر میزان انباستگی مولکول در حجم نانو حفره بر حساسیت حسگر زیستی  
شکل ۸ اثر میزان پرشدن نانو حفره را توسط مولکول بر پاسخ‌دهی

جدول ۳: جریان حالت خاموش و معیار حساسیت  $S_4$  به ازای درصدی از حجم نانوحفره که توسط مولکول پر شده است.

$S_4$	جریان حالت خاموش هنگام جذب مولکول					درصدی از حجم نانوحفره که توسط مولکول پر شده است.
$k = 2/1$	$k = 3/57$	$k = 8$	$k = 2/1$	$k = 3/57$	$k = 8$	
۱/۲۹	۱/۳۹	۱/۴۱	$۳/۴۲ \times 10^{-9}$	$۳/۱۵ \times 10^{-9}$	$۳/۱۱ \times 10^{-9}$	%۲۵
۱/۷۶	۲/۳۸	۲/۹۴	$۲/۴۹ \times 10^{-9}$	$۱/۸۴ \times 10^{-9}$	$۱/۴۹ \times 10^{-9}$	%۵۰
۲/۵۹	۵/۳۷	۱۳/۱	$۱/۷۹ \times 10^{-9}$	$۸/۱۸ \times 10^{-10}$	$۳/۳۴ \times 10^{-10}$	%۷۵
۴/۳۴	۲۱/۸	۵۴۳	$۱/۰۱ \times 10^{-9}$	$۲/۰۱ \times 10^{-10}$	$۸/۰۹ \times 10^{-12}$	%۱۰۰

جدول ۴: جریان حالت خاموش و معیار حساسیت  $S_5$  به ازای تغییر آلایش کانال.

$S_5$	جریان حالت خاموش هنگام جذب مولکول					آلایش کانال ( $\text{cm}^{-3}$ )
$k = 2/1$	$k = 3/57$	$k = 8$	$k = 2/1$	$k = 3/57$	$k = 8$	
۲/۳۶	۵/۷۸	۳۱/۳	$۵/۴۱ \times 10^{-13}$	$۲/۲۱ \times 10^{-13}$	$۴/۰۹ \times 10^{-14}$	$۴ \times 10^{-18}$
۳/۸۱	۱۵/۸	۲۵۲	$۹/۹۱ \times 10^{-11}$	$۲/۳۹ \times 10^{-11}$	$۱/۵۰ \times 10^{-12}$	$۸ \times 10^{-18}$
۴/۳۴	۲۱/۸	۵۴۳	$۱/۰۱ \times 10^{-9}$	$۲/۰۱ \times 10^{-10}$	$۸/۰۹ \times 10^{-12}$	$۱ \times 10^{-19}$

جریان حالت خاموش دارد که در نهایت منجر به کاهش حساسیت حسگر می‌گردد. شکل ۱۲ اثر تغییرتابع کار گیت را بر حساسیت حسگر بر اساس معیار  $S_5$  نشان می‌دهد. ولتاژ درین باعث کاهش ولتاژ آستانه افزاره در حالتی که مولکولی در نانوحفره قرار نگرفته است، می‌گردد. در این حالت با جذب مولکول و افزایش ثابت دیکتریک مولکول، تغییرات ولتاژ آستانه افزایش می‌یابد. از طرفی با افزایش ولتاژ درین، جریان حالت خاموش قبل از جذب مولکول افزایش می‌یابد. با افزایش ثابت دیکتریک مولکول، جریان حالت خاموش کاهش یافته و حساسیت حسگر بر اساس معیار  $S_5$  افزایش می‌یابد. نکته مهم آن است که در مولکول‌هایی با ثابت دیکتریک پایین، تغییرات ولتاژ درین اثر محسوسی بر جریان حالت خاموش ندارد، لیکن با افزایش ثابت دیکتریک مولکول، جریان حالت خاموش به میزان قابل توجهی کاهش می‌یابد.

### ۳-۲-۳ بررسی اثر ولتاژ درین بر حساسیت حسگر زیستی

شکل ۱۳ اثر ولتاژ درین را بر حساسیت حسگر بر حسب معیارهای  $S_5$  و  $S_6$  نشان می‌دهد. ولتاژ درین باعث کاهش ولتاژ آستانه افزاره در حالتی که مولکولی در نانوحفره قرار نگرفته است، می‌گردد. در این حالت با جذب مولکول و افزایش ثابت دیکتریک مولکول، تغییرات ولتاژ آستانه افزایش می‌یابد. از طرفی با افزایش ولتاژ درین، جریان حالت خاموش قبل از جذب مولکول افزایش می‌یابد. با افزایش ثابت دیکتریک مولکول، جریان حالت خاموش کاهش یافته و حساسیت حسگر بر اساس معیار  $S_5$  افزایش می‌یابد. نکته مهم آن است که در مولکول‌هایی با ثابت دیکتریک پایین، تغییرات ولتاژ درین اثر محسوسی بر جریان حالت خاموش ندارد، لیکن با افزایش ثابت دیکتریک مولکول، جریان حالت خاموش به میزان قابل توجهی کاهش می‌یابد.

### ۳-۲-۴ بررسی اثر قطر نانولوله بر حساسیت حسگر زیستی

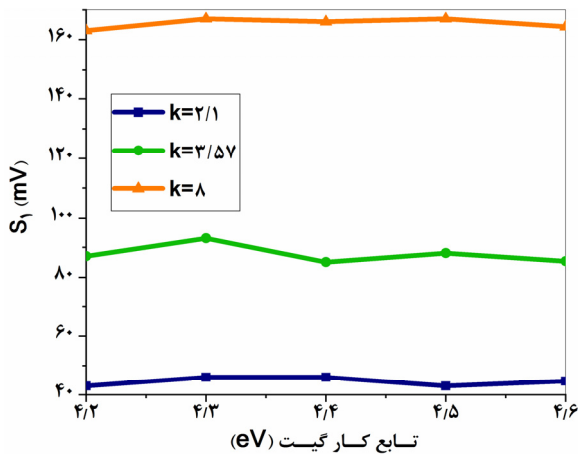
قطر نانولوله پارامتر ساختاری بسیار مهمی در نانوحسگر می‌باشد. شکل ۱۴ اثر تغییر قطر نانولوله را بر پاسخدهی حسگر به ازای معیارهای  $S_5$  و  $S_6$  نشان می‌دهد. با کاهش قطر نانولوله، کنترل گیت بر کانال افزایش می‌یابد. در این حالت، همان گونه که مشاهده می‌گردد، حساسیت حسگر به ازای قطر نانولوله برابر  $R = 3 \text{ nm}$  کاهش می‌یابد. همان گونه که اشاره گردید، مبنای پاسخدهی حسگر بر اساس تغییر ولتاژ آستانه و جریان حالت خاموش به ازای تغییر ثابت دیکتریک مولکول است. حال اگر مشخصه‌های دیکتریکی افزاره به کمک افزایش کنترل گیت تغییر کند، در این حالت پاسخدهی حسگر به تغییر ثابت دیکتریک مولکول خصوصاً مولکول‌هایی با ثابت دیکتریک پایین کاهش می‌یابد. از طرفی، افزایش قطر نانولوله موجب کاهش کنترل گیت بر کانال، افزایش جریان حالت خاموش و افزایش توان مصرفی حسگر می‌گردد. از این رو لازم است ضخامت بهینه برای قطر نانولوله تعیین گردد. بر اساس نتایج شبیه‌سازی و بر اساس پارامترهای اولیه شبیه‌سازی، قطر نانولوله برابر  $R = 5 \text{ nm}$

ولتاژ گیت صفر برابر  $-10^{-7} \text{ آمپر}$  در نظر گرفته شده است. همان گونه که مشاهده می‌گردد، بیشترین جریان حالت خاموش در گوشه سمت راست-بالای کانتور و به ازای تابع کار گیت بالا و آلایش سنگین کانال به دست می‌آید. بدیهی است در این شرایط عرض ناحیه تخلیه شده کاهش یافته و حامل‌ها از سورس به درین جریان می‌یابند. از طرفی، کمترین جریان درین به ازای آلایش پایین کانال و تابع کار پایین گیت در گوشه سمت چپ-پایین به دست می‌آید. در این حالت تراکم حفره‌ها در کانال به میزان

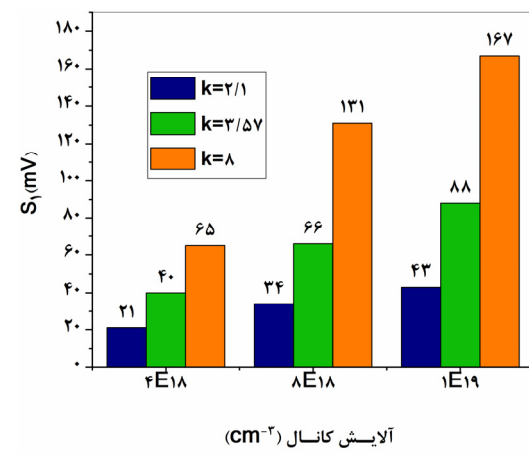
قابل توجهی کاهش یافته و عرض ناحیه تخلیه شده در کانال افزایش می‌یابد. لازم به ذکر است برای افزایش پاسخدهی حسگر و افزایش میزان تفکیک‌پذیری آن، باید جریان حالت خاموش و ولتاژ آستانه افزاره بعد از جذب مولکول تغییر کند. لذا با کاهش آلایش کانال و تابع کار گیت، جریان حالت خاموش به حداقل مقدار رسیده و ولتاژ آستانه افزاره بعد از آستانه تغییرات کمی بعد از جذب مولکول دارد که این امر در نهایت منجر به کاهش میزان حساسیت حسگر و کاهش میزان تفکیک‌پذیری حسگر آستانه تغییرات کمی بعد از جذب مولکول دارد که این امر در نهایت منجر به کاهش میزان حساسیت حسگر و کاهش میزان تفکیک‌پذیری حسگر نسبت به مولکول‌های مختلف می‌گردد. از طرفی افزایش زیاد تراکم ناخالصی یا افزایش تابع کار گیت موجب افزایش جریان حالت خاموش در حالتی که مولکولی در نانوحفره قرار نگرفته است می‌گردد. لذا باید مقدار بهینه‌ای برای تابع کار گیت و آلایش کانال تعیین شود.

شکل ۱۰ اثر تغییر آلایش کانال را بر میزان حساسیت حسگر بر اساس معیار حساسیت  $S_5$  نشان می‌دهد. همان طور که مشاهده می‌گردد، به ازای آلایش پایین کانال، حساسیت حسگر خصوصاً برای مولکول‌هایی با ثابت دیکتریک پایین کاهش می‌یابد و این در حالی است که در مولکول‌هایی با ثابت دیکتریک بالا، با تغییر در آلایش کانال، تغییر قابل توجهی در حساسیت حسگر مشاهده می‌گردد. حساسیت حسگر بر اساس معیار  $S_5$  و نیز جریان حالت خاموش افزاره به ازای آلایش مختلف کانال در جدول ۴ ارائه شده است. همان گونه که مشاهده می‌گردد به دلیل تغییر کوچک در جریان حالت خاموش افزاره، این معیار برای مولکول‌هایی با ثابت دیکتریک پایین از حساسیت پایینی برخوردار است.

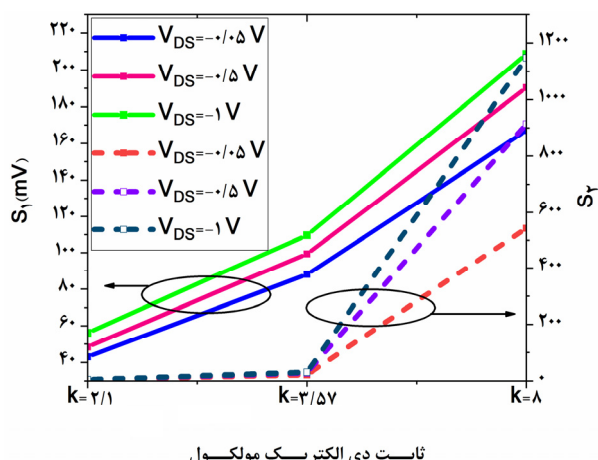
تابع کار گیت داخلی و بیرونی نقش مهمی در پاسخدهی حسگر دارند. شکل ۱۱ پاسخدهی حسگر را بر اساس معیار  $S_5$  به ازای تابع کار گیت مختلف نشان می‌دهد. همان گونه که مشاهده می‌گردد، با افزایش تابع کار گیت به دلیل افزایش جریان حالت خاموش، کنترل گیت بر کانال کاهش یافته و تغییر ثابت دیکتریک مولکول، تأثیر کمی بر کاهش



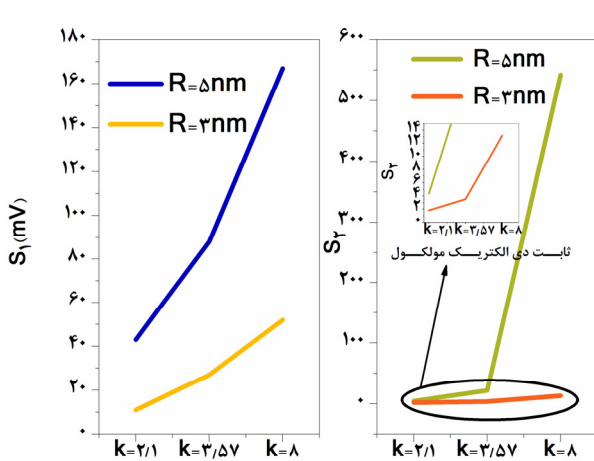
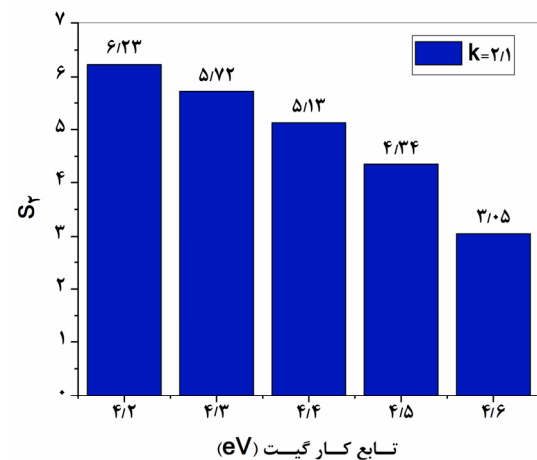
شکل ۱۲: حساسیت حسگر بر مبنای معیار  $S_g$  به ازای تغییر تابع کار گیت.



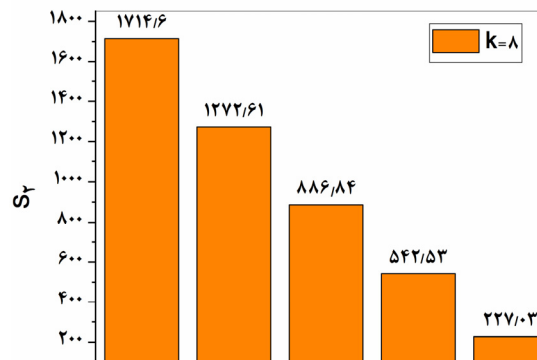
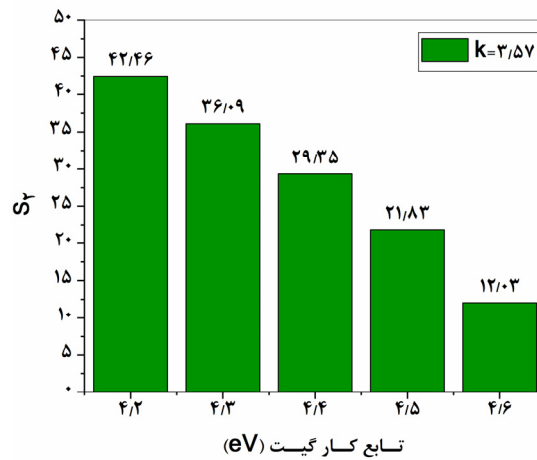
شکل ۱۳: حساسیت حسگر بر مبنای معیار  $S_g$  به ازای تغییر آلایش کanal.



شکل ۱۴: حساسیت حسگر بر مبنای معیار  $S_g$  به ازای تغییر ولتاژ درین.



شکل ۱۵: حساسیت حسگر به ازای تغییر قطر نانولوله.



شکل ۱۸: حساسیت حسگر بر مبنای معیار  $S_g$  به ازای تغییر تابع کار گیت.  
ضخامت بهینه با حداقل حساسیت و توان مصرفی پایین می‌باشد.

**۳-۵-۲ بررسی اثر بار مولکول بر حساسیت حسگر زیستی**  
شکل ۱۵ اثر بار مولکول زیستی را بر عملکرد حسگر زیستی نشان می‌دهد. شبیه‌سازی به ازای مولکول‌هایی با بار منفی و مثبت انجام شده است. هدف در طراحی حسگر، تغییر ولتاژ آستانه به کمک تغییر ثابت دی‌الکتریک مولکول است و این در حالی است که بار مولکول می‌تواند بر بار کanal و در نتیجه بر حساسیت حسگر تأثیر بگذارد. تغییرات ولتاژ آستانه به ازای مولکول‌هایی با بار منفی، قدر مطلق  $\Delta V_{th}$  در نظر گرفته از (۸) محاسبه می‌گردد. لازم به ذکر است به دلیل تغییرات منفی ولتاژ آستانه به ازای مولکول‌هایی با بار منفی، قدر مطلق  $\Delta V_{th}$  در نظر گرفته

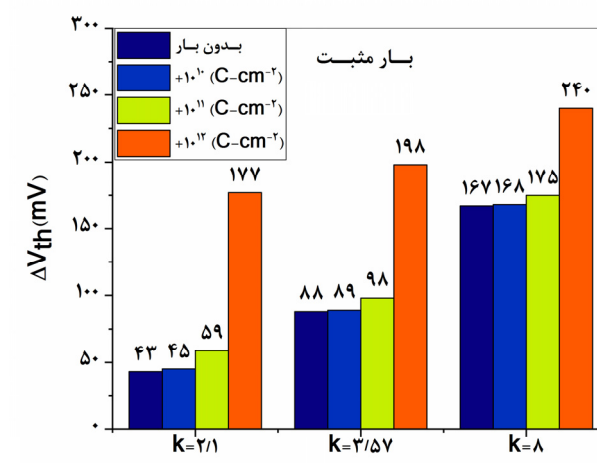
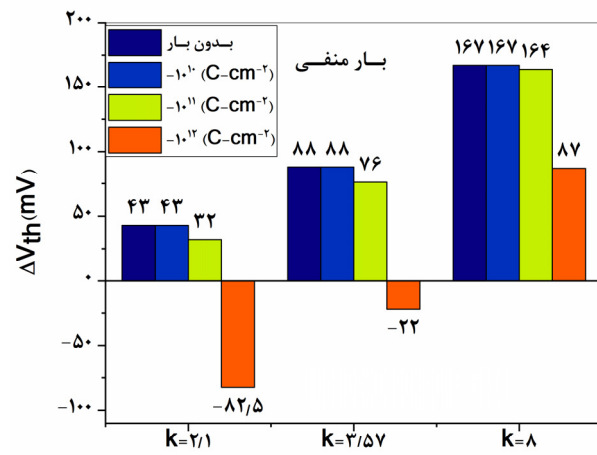
ولتاژ آستانه نسبت به حالتی که نانوحفره خالی است، تغییرات ولتاژ آستانه کاهش یافته و به مقادیر منفی نیز می‌رسد. از این رو می‌توان نتیجه گرفت که این حسگر پاسخ‌دهی مناسبی برای مولکول‌هایی با بار منفی و نیز ثابت دی‌الکتریک پایین ندارد.

#### ۴- نتیجه‌گیری

در این مقاله، عملکرد ترانزیستور ناتولوله بدون پیوند به عنوان حسگر زیستی مورد بررسی قرار گرفت و اثر متغیرهای مهم فیزیکی و ساختاری بر حساسیت حسگر تبیین گردید. بر اساس نتایج به دست آمده، این افزاره دارای حساسیت بالایی خصوصاً برای مولکول‌هایی با ثابت دی‌الکتریک پایین است.تابع کار گیت و الایش کانال از متغیرهای مهم افزاره هستند که نقش مهمی در حساسیت نانوحسگر و میزان تفکیک‌پذیری افزاره برای مولکول‌های مختلف دارند و لازم است مقدار بهینه‌ای برای مولکول‌هایی با گردد. همچنین این افزاره دارای حساسیت بسیار بالایی برای مولکول‌هایی با بار مثبت است لیکن این حسگر پاسخ‌دهی مناسبی برای مولکول‌هایی با بار منفی با ثابت دی‌الکتریک پایین ندارد.

#### مراجع

- [1] M. L. Verma, "Nanobiotechnology advances in enzymatic biosensors for the agri-food industry," *Environmental Chemistry Letters*, vol. 15, no. 4, pp. 555-560, Dec. 2017.
- [2] P. Mehrotra, "Biosensors and their applications-a review," *J. of Oral Biology and Craniofacial Research*, vol. 6, no. 2, pp. 153-159, Jan. 2016.
- [3] S. T. Nemane, S. B. Gholve, O. G. Bhusnure, S. T. Mule, and P. V. Ingle, "Biosensors: an emerging technology in pharmaceutical industry," *J. of Drug Delivery and Therapeutics*, vol. 9, no. 4, pp. 643-647, Jul. 2019.
- [4] D. Rodrigues, *et al.*, "Skin-integrated wearable systems and implantable biosensors: a comprehensive review," *Biosensors*, vol. 10, no. 7, Article ID: 79, Jul. 2020.
- [5] ز. گورزی، ب. ابراهیمی حسین‌زاده، م. غربی، ع. فخاری زواره، م. برشان و ح. شکی، "بررسی فاکتورهای مؤثر بر فعالیت الکتروکاتالیستی در حسگر نیکوتین،" *فصلنامه علمی پژوهشی مهندسی پزشکی زیستی*، جلد ۷، شماره ۲، ص. ۱۳۳-۱۴۱، تابستان ۱۳۹۲.
- [6] N. Bhalla, Y. Pan, Z. Yang, and A. F. Payam, "Opportunities and challenges for biosensors and nanoscale analytical tools for pandemics: COVID-19," *ACS Nano*, vol. 14, no. 7, pp. 7783-7807, Jun. 2020.
- [7] M. Garg, A. L. Sharma, and S. Singh, "Advancement in biosensors for inflammatory biomarkers of SARS-CoV-2 during 2019-2020," *Biosensors and Bioelectronics*, vol. 171, no. 1, Article ID: 112703, Jan. 2021.
- [8] F. Bellando, C. K. Dabhi, A. Saeidi, C. Gastaldi, Y. S. Chauhan, and A. M. Ionescu, "Subthermionic negative capacitance ion sensitive field-effect transistor," *Applied Physics Letters*, vol. 116, no. 17, Article ID: 173503, Apr. 2020.
- [9] S. Ma, Y. K. Lee, A. Zhang, and X. Li, "Label-free detection of *Cordyceps sinensis* using dual-gate nanoribbon-based ion-sensitive field-effect transistor biosensor," *Sensors and Actuators B: Chemical*, vol. 264, pp. 344-352, Jul. 2018.
- [10] I. Fakih, O. Durman, F. Mahvash, I. Napal, A. Centeno, A. Zurutuza, V. Yargeau, and T. Szkopek, "Selective ion sensing with high resolution large area graphene field effect transistor arrays," *Nature Communications*, vol. 11, no. 1, pp. 1-12, Jun. 2020.
- [11] J. C. Dutta, H. R. Thakur, and G. Keshwani, "High-performance dual-gate carbon nanotube ion-sensitive field effect transistor with high-\$\kappa\$ top gate and low-\$\kappa\$ bottom gate dielectrics," *IEEE Sensors J.*, vol. 19, no. 14, pp. 5692-5699, Mar. 2019.
- [12] M. Fathollahzadeh, M. Hosseini, M. Norouzi, A. Ebrahimi, M. Fathipour, M. Kolahdouz, and B. Haghghi, "Immobilization of glucose oxidase on ZnO nanorods decorated electrolyte-gated field effect transistor for glucose detection," *J. of Solid State Electrochemistry*, vol. 22, no. 1, pp. 61-67, Jan. 2018.
- [13] T. Sakata, H. Sugimoto, and A. Saito, "Live monitoring of microenvironmental pH based on extracellular acidosis around



شکل ۱۵: اثر بار مولکول بر تغییرات ولتاژ آستانه.

نشده است

$$\Delta V_{th} = V_{th}(\text{before molecule accumulation}) - V_{th}(\text{after molecule accumulation}) \times 100\%$$
 (۸)

بار مثبت مولکول‌ها موجب کاهش تراکم حفره‌ها در سطح کانال می‌گردد. در نتیجه به دلیل افزایش عرض ناحیه تخلیه شده در کانال، ولتاژ آستانه افزایش یافته و جریان حالت خاموش کاهش می‌یابد. همان‌گونه که مشاهده می‌گردد، با افزایش بار مثبت مولکول، تغییرات ولتاژ آستانه افزایش یافته که این امر منجر به افزایش حساسیت حسگر می‌شود. این امر خصوصاً برای مولکول‌هایی با ثابت دی‌الکتریک بزرگ‌تر، آشکارتر است و از این رو می‌توان این طور نتیجه گرفت که این حسگر، حساسیت خوبی خصوصاً برای مولکول‌هایی با بار منفی را بر تغییرات ولتاژ آستانه نشان می‌دهد. بار منفی مولکول موجب افزایش تراکم حفره‌ها و در نتیجه کاهش تغییرات ولتاژ آستانه می‌گردد. در حقیقت از یک سو با افزایش ثابت دی‌الکتریک مولکول، کنترل گیت بر کانال افزایش می‌یابد و منجر به افزایش تغییرات ولتاژ آستانه می‌گردد و از سوی دیگر، افزایش بار منفی مولکول، موجب افزایش تراکم حفره و کاهش ولتاژ آستانه می‌گردد. به ازای بار منفی پایین، ثابت دی‌الکتریک مولکول نقش غالب را ایفا می‌کند، این در حالی است که با افزایش بار منفی، خصوصاً برای مولکول‌هایی با ثابت دی‌الکتریک پایین، کنترل گیت بر کانال کاهش یافته و به دلیل کاهش

- [20] S. C. Wagaj and S. C. Patil, "Dual material gate silicon on insulator junctionless MOSFET for low power mixed signal circuits," *International J. of Electronics*, vol. 106, no. 7, pp. 992-1007, Jul. 2019.
- [21] R. Kumar and A. Kumar, "Hetro-dielectric (HD) oxide-engineered junctionless double gate all around (DGAA) nanotube field effect transistor (FET)," *Silicon*, vol. 13, pp. 2177-2184, 15 Sept. 2020.
- [22] Z. Ahangari, "Performance assessment of dual material gate dielectric modulated nanowire junctionless MOSFET for ultrasensitive detection of biomolecules," *RSC Advances*, vol. 6, no. 92, pp. 89185-89191, Sept. 2016.
- زهرا آهنگری** مدرک دکتری خود را در سال ۱۳۹۲ از دانشگاه آزاد اسلامی واحد علوم و تحقیقات در رشته مهندسی برق گرایش الکترونیک دریافت نمود. از سال ۱۳۸۴ تا سال ۱۳۹۲ وی به عنوان دستیار تحقیقاتی در آزمایشگاه شبیه‌سازی و مدل‌سازی افزاره دانشگاه تهران تحت نظرات پروفیسور مرتفعی فتحی پور مشغول به فعالیت بودند. دکتر زهرا آهنگری از سال ۱۳۹۲ عضو هیات علمی دانشده مهندسی برق و کامپیوتر دانشگاه آزاد اسلامی واحد یادگار امام خمینی (ره) شهر ری می‌باشد. زمینه‌های تحقیقاتی ایشان مدل‌سازی و شبیه‌سازی افزاره‌های میکرو و نانوالکترونیک، نانو حسگر و سلول‌های خورشیدی می‌باشد.
- cancer cells with cell-coupled gate ion-sensitive field-effect transistor," *Analytical Chemistry*, vol. 90, no. 21, pp. 12731-12736, Oct. 2018.
- [14] S. Singh, P. N. Kondekar, and N. K. Jaiswal, "Comparative analysis of T-gate and L-gate dielectric modulated schottky tunneling source impact ionization MOS for label-free detection of toxic gases," *J. of Nanoelectronics and Optoelectronics*, vol. 13, no. 4, pp. 501-508, Apr. 2018.
- [15] D. Singh, *et al.*, "A charge-plasma-based dielectric-modulated junctionless TFET for biosensor label-free detection," *IEEE Trans. on Electron Devices*, vol. 64, no. 1, pp. 271-278, Nov. 2018.
- [16] A. Kumar, M. M. Tripathi, and R. Chaujar, "Ultralow-power dielectric-modulated nanogap-embedded sub-20-nm TGRC-MOSFET for biosensing applications," *J. of Computational Electronics*, vol. 17, no. 4, pp. 1807-1815, Dec. 2018.
- [17] S. Singh, P. N. Kondekar, and N. K. Jaiswal, "Label-free biosensor using nanogap embedded dielectric modulated schottky tunneling source impact ionization MOS," *Microelectronic Engineering*, vol. 149, no. C, pp. 129-134, Jan. 2016.
- [18] ATLAS, *ATLAS User Manual*, Santa Clara, USA: Silvaco International, 2015.
- [19] M. I. Khan, I. R. Rahman, and Q. D. Khosru, "Surface potential-based analytical modeling of electrostatic and transport phenomena of GaN nanowire junctionless MOSFET," *IEEE Trans. on Electron Devices*, vol. 67, no. 9, pp. 3568-3576, Aug. 2020.